

УДК 535.342.01

**К ВОПРОСУ О ВЫБОРЕ МОДЕЛИ  
КОЭФФИЦИЕНТА ПОГЛОЩЕНИЯ И ОПРЕДЕЛЕНИИ  
ЕЕ ПАРАМЕТРОВ ДЛЯ НАИЛУЧШЕЙ АППРОКСИМАЦИИ  
ЭКСПЕРИМЕНТАЛЬНЫХ ДАННЫХ  
РЕЗУЛЬТАТАМИ ТЕОРЕТИЧЕСКИХ РАСЧЕТОВ**

*A. Г. Покровский и M. Я. Розинский*

В настоящей работе для некоторой модели коэффициента поглощения выбираются такие значения параметров, при которых расхождение между теоретическими и экспериментальными спектрами оказывается наименьшим. Пригодность выбранной модели для описания данного процесса определяется в таком случае величиной минимального расхождения.

В настоящей работе авторы предприняли попытку подойти с точки зрения идей и методов нелинейного программирования к проблеме, сформулированной в заглавии статьи. Работа состоит из трех параграфов. В § 1 будет показано, как указанная проблема сводится к задаче, решаемой методами нелинейного программирования. В § 2 мы приводим пример, демонстрирующий возможности практического применения предлагаемого подхода. § 3 посвящен изложению некоторых аспектов дальнейшего развития теории и практики разработанного авторами метода.

§ 1. В настоящее время в связи с широким использованием для интерпретации атмосферных спектров поглощения в ИК области и для других задач так называемых прямых методов расчета (подробный обзор по этим методам дан в работе [¹]), а также в связи с постановкой и решением задач, аналогичных обратной задаче термического зондирования ([²]), все большую роль играет проблема выбора модели коэффициента поглощения и ее параметров, при использовании которых экспериментальные данные аппроксимировались бы в широком диапазоне физических условий наилучшим образом.

Из эксперимента мы можем получить значения среднего спектрального поглощения  $\bar{A}_s(\nu)$  в интервале  $[\nu_\alpha, \nu_\beta]$ , пользуясь формулой

$$\bar{A}_s(\nu) = \frac{\tilde{I}_{0\nu} - \tilde{I}_\nu}{\tilde{I}_{0\nu}}, \quad (1.1)$$

где  $\tilde{I}_{0\nu}$  ( $\tilde{I}_\nu$ ) — средняя спектральная интенсивность ИК излучения, падающего на входную (выходную) щель спектрометра. Для теоретического расчета этой величины, как правило, используется формула

$$\bar{A}_t(\nu) = \int_{-\infty}^{+\infty} \{1 - \exp[uK_x(\nu')]\} g(\nu - \nu') d\nu', \quad (1.2)$$

где  $x = (x_1, \dots, x_n)$  — набор параметров, определяющий конкретный вид коэффициента поглощения в рамках принятой модели, а посредством свертки с функцией  $g(\nu)$  учитывается искажающее влияние прибора

(предполагается, что  $\int_{-\infty}^{+\infty} g(\nu) d\nu = 1$ ).

Будем рассматривать набор физических условий, при которых получена величина  $\bar{A}_s(y)$ , как точку  $r$ -мерного евклидова пространства ( $y \in R_r$ ). Тогда, если ставить задачу аппроксимации экспериментальных значений теоретическими в некоторой области физических условий  $\Delta$  ( $\Delta \subset R_r$ ), то следует рассматривать величины  $\bar{A}_s(y)$  и  $\bar{A}_t(y)$  уже как функции  $r+1$  переменной ( $y' = (y, y_1, \dots, y_2)$ ), определенные на множестве  $\Delta'$  ( $\Delta' = \{y' : y \in [\nu_\alpha, \nu_\beta], y \in \Delta\}$ ) и в качестве критерия аппроксимации использовать величину выражения

$$\max_{y' \in \Delta'} |\bar{A}_s(y') - \bar{A}_t(y')|. \quad (1.3)$$

Однако ввиду невозможности построения функции  $\bar{A}_s(y')$  для всех  $y' \in \Delta'$  мы вынуждены искать максимум  $|\bar{A}_s(y') - \bar{A}_t(y')|$  не на всем  $\Delta'$ , а лишь на некотором конечном его подмножестве  $M$ . Наши намерения при этом не пострадают, так как можно показать, что для всякого  $\alpha > 0$  при соответствующем выборе  $M$  из неравенства  $\max_{y' \in \Delta'} |\bar{A}_s(y') - \bar{A}_t(y')| \leq \varepsilon$  будет следовать неравенство  $\max_{y' \in \Delta'} |\bar{A}_s(y') - \bar{A}_t(y')| \leq (1 + \alpha)\varepsilon$ .

Как видно из формулы (1.2),  $\bar{A}_t(y')$  является функцией вектора  $x$ , следовательно, целесообразно ввести обозначение

$$f(x) = \max_{y' \in M} |\bar{A}_s(y') - \bar{A}_t(y', x)|. \quad (1.4)$$

В таком случае вопрос о выборе набора параметров  $x$ , при котором в рамках принятой модели функция  $\bar{A}_s(y')$  наилучшим образом аппроксимировалась бы функцией  $\bar{A}_t(y')$ , сводится к задаче отыскания минимума функции  $f(x)$ , для решения которой в математике разработаны многочисленные методы. Далее, если  $f_A(x)$  и  $f_B(x')$  — функции, определяемые по формуле (1.4) для моделей  $A$  и  $B$  соответственно, то естественно считать, что модель  $A$  лучше, чем модель  $B$ , описывает реальную ситуацию в том и только в том случае, когда  $\min_{x' \in R_n} f_A(x) < \min_{x' \in R'_n} f_B(x')$ .

Таким образом, мы получили критерий применимости данной модели для описания реального процесса, определяемый с помощью методов нелинейного программирования.

§ 2. Числовой эксперимент был проведен в январе 1969 г. в ВЦ СОАН СССР. Методика его несколько отличалась от предложенной выше, так как для первого раза предпочтение было отдано более прimitивной, но значительно более простой в реализации методике.

В качестве контура поглощения был взят лоренц-допплеровский контур. В этом случае, если на отрезке спектра  $[\nu_\alpha, \nu_\beta]$  расположено  $N$  линий,  $n = 4N$  и  $x = (\nu_{0_1}, \dots, \nu_{0_N}, E_{0_1}, \dots, E_{0_N}, S_{0_1}, \dots, S_{0_N}, \gamma_{L_{0_1}}, \dots, \gamma_{L_{0_N}})$ , где  $\nu_{0_i}$  — центр,  $E_{0_i}$  — энергия,  $S_{0_i}$  — интегральная интенсивность и  $\gamma_{L_{0_i}}$  — лоренцевская полуширина  $i$ -й линии. Однако величины  $\nu_{0_i}$ ,  $E_{0_i}$  определялись на основе квантовомеханических расчетов и оставались неизменными, так что варьировались только значения  $S_{0_i}$ ,  $\gamma_{L_{0_i}}$ . Для определения значений  $\bar{A}_s(y, y)$  использовались результаты опытов К. П. Вasilевского (спектры поглощения  $H_2O$  на участке  $4230-4240 \text{ см}^{-1}$ ). Набор параметров, доставляющий минимум функции  $f(x)$ , искался отдельно для каждого из имевшихся четырех наборов условий эксперимента  $y^{(i)}$  ( $i=1, 2, 3, 4$  (т. е.  $\Delta'_i = \{y, y^{(i)} : y \in [\nu_\alpha, \nu_\beta]\}$ )). Для поиска минимума  $f(x)$  был применен так называемый метод покоординатного наискорейшего спуска (его описание можно найти в работе [3]), несколько измененный в связи с некоторыми особенностями функции  $f(x)$ .

Результаты опыта представлены в таблице и на рис. 1, 2. В качестве начальных значений  $x$  были взяты величины, приведенные в [4], средние значения компонент  $x$  вычислялись только по совокупности близких величин.

| Собственные частоты, $\text{см}^{-1}$ | Исходные данные ( $S_{o_i} \cdot \gamma_{L_{o_i}}$ ) | Значения по экспериментам |        |        |        | Конечные данные ( $S_{o_i} \cdot \gamma_{L_{o_i}}$ ) |
|---------------------------------------|--|---------------------------|--------|--------|--------|--|
|                                       |  | № 1                       | № 2    | № 3    | № 4    |  |
| 4230.15                               | 0.868  | 0.440                     | 0.515  | 0.433  | 0.440  | 0.440  |
|                                       | 0.0495   | 0.048                     | 0.051  | 0.047  | 0.044  | 0.048  |
| 4230.35                               | 0.280  | 0.100                     | 0.140  | 0.137  | 0.142  | 0.140  |
|                                       | 0.049  | 0.098                     | 0.134  | 0.137  | 0.129  | 0.130  |
| 4239.88                               | 0.245  | 0.200                     | 0.200  | 0.200  | 0.198  | 0.200  |
|                                       | 0.059  | 0.036                     | 0.032  | 0.057  | 0.057  | 0.057  |
| 4239.99                               | 0.1125   | 0.0645                    | 0.0525 | 0.0525 | 0.0535 | 0.053  |
|                                       | 0.068  | 0.063                     | 0.039  | 0.079  | 0.079  | 0.079  |
| 4240.00                               | 0.237  | 0.232                     | 0.230  | 0.235  | 0.230  | 0.232  |
|                                       | 0.072  | 0.023                     | 0.022  | 0.023  | 0.029  | 0.023  |

Анализируя полученные результаты, можно сделать следующие выводы. Во-первых, градиент функции  $f(x)$  мал в достаточно большой окрестности точки ее минимума. Следовательно, можно выбрать значение  $x$ , вполне удовлетворяющее всем  $y'$ . К тому же необходимо учесть, что в про-

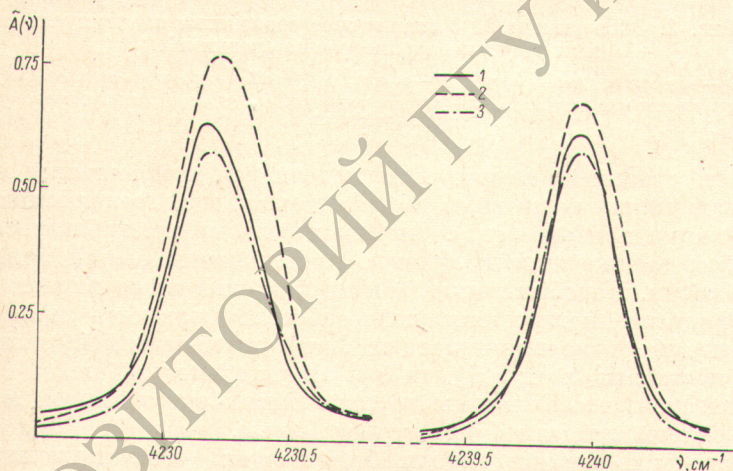


Рис. 1. Эксперимент № 1 (наихудшее совпадение индивидуальных значений параметров со средними).

1 — кривая значений  $\bar{A}_s(y')$ , 2 — кривая значений  $\bar{A}_t(y')$  при начальных значениях параметров  $x$ , 3 — кривая значений  $\bar{A}_t(y')$  при средних значениях параметров  $x$ .

веденном эксперименте значительная часть оставшегося расхождения между  $\bar{A}_s(y')$  и  $A_t(y')$  объясняется несовершенством метода минимизации  $f(x)$ .

Подводя итоги данного эксперимента, можно сказать, что даже при несовершенной методике минимизации  $f(x)$  можно получить хорошее приближение экспериментальных значений среднего спектрального поглощения теоретическими. Однако о сравнении моделей можно будет говорить лишь применив для минимизации  $f(x)$  более совершенный метод.

§ 3. Для дальнейшего развития предложенного здесь подхода важнейшей задачей является создание совершенного метода минимизации  $f(x)$ ,

а точнее — применение уже имеющихся методов [5] к нашей задаче. Второй по важности является проблема сокращения затрат машинного времени на решение подобных задач. Здесь мы сталкиваемся с такими проблемами, как оптимальный выбор множества  $M$  и отыскания критериев, позволяющих сравнивать a priori экономичность различных методов. Очень важен также вопрос о числе минимумов функции  $f(x)$ , так как интерес представляет только главный минимум, а в то же время ни одним из методов нельзя отличить локальный минимум от главного. Представляет также интерес вопрос о точной оценке градиента  $f(x)$  вблизи точки ее минимума.

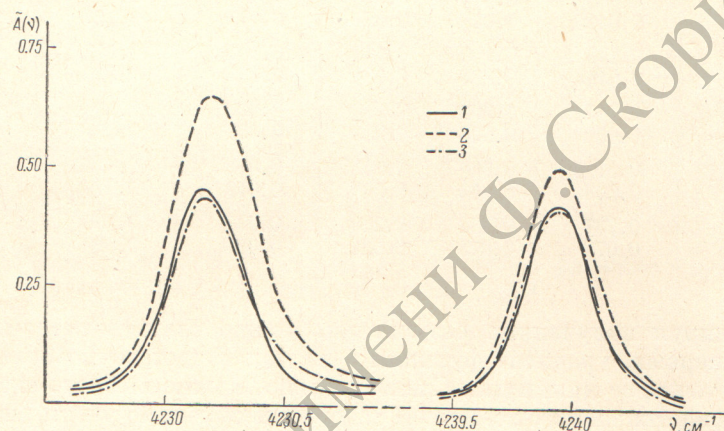


Рис. 2. Эксперимент № 3 (наилучшее совпадение индивидуальных значений параметров со средними).

1 — кривая значений  $\bar{A}_3(v')$ , 2 — кривая значений  $\bar{A}_T(v')$  при начальных значениях параметров  $x$ , 3 — кривая значений  $\bar{A}_{\bar{x}}(v')$  при средних значениях параметров  $x$ .

Наконец, сравнивая те или иные модели для коэффициента поглощения, нельзя упускать из вида, что на качество аппроксимации влияет и вид «функции прибора»  $g(v)$ . Следовательно, можно добиваться в рамках одной и той же модели лучшего приближения, меняя модели  $g(v)$  и их параметры. Подобный опыт, так же как опыт по сравнению моделей для коэффициента поглощения, целесообразно проводить лишь при совершенном алгоритме минимизации  $f(x)$ , поэтому такой эксперимент и не был поставлен, хотя задуман был значительно раньше.

Мы надеемся, что большинство намеченных здесь опытов и предложений в скором времени будут осуществлены.

В заключение авторы хотели бы выразить свою признательность К. Я. Кондратьеву за постоянное внимание и помочь в разработке данной проблемы, а также В. Ф. Демьянову и В. Н. Малоземову за многочисленные и полезные консультации и К. П. Василевскому, любезно предоставившему в наше распоряжение обширный экспериментальный материал.

#### Литература

- [1] К. Я. Кондратьев, Ю. М. Тимофеев. Физика атмосферы и океана. Изв. АН СССР, 3, № 2, 1967.
- [2] К. Я. Кондратьев, Ю. М. Тимофеев. Проблемы физики атмосферы. ЛГУ, сб. 5, 1967.
- [3] В. Т. Поляк. Экономика и матем. методы, 3, № 6, 1967.
- [4] D. M. Gates, R. F. Calfee, D. W. Hansen, W. S. Benedict. Line parameters and computed spectra for water vapour bands at 2.7  $\mu$ . NBS monograph, 71, August, 1964.
- [5] В. Ф. Демьянов. Кибернетика, 2, № 6, 1966.